

I-88 波による底質の初期移動と砂れんの発生について

京都大学防災研究所 正員 岩垣雄一
京都大学工業教育養成所 正員 野田英明
鹿島建設株式会社 正員 井條武寿

1. まえがき

海浜における底質の移動機構を解明する場合、波による底質の移動特性の一つとして、底質の移動限界や砂れんの発生限界に着目し、これまである程度の研究がなされてきた。底質の移動限界点は潭砂帶の境界線であり、海浜変形の基準点とも考えられる。砂れんの発生は海底の粗度や潭砂の移動に密接な関連があり、その発生限界を知ることは大きな意味をもつている。著者らは波による砂の移動限界時の掃流力について理論的に考察し、実験を行ない、両者の比較を試みた。さらに底質の移動限界に関する限りして、砂れんの発生限界についての実験を行ない、両限界の関連性を調べた。

2. 実験装置および実験方法

実験には幅50 cm、深さ65 cm、長さ10 m の鉄製で、一部歯止めを設けた水槽を使用した。一端にアランジャ一式造波機を取りつけ、他端には波の反射を消すために約1/10の傾斜板を設置してある。また水路中央の底面3 mにわたり、70×80×7 mmのL型切りを設け、その中に粒径の異なる3種類および塩化ビニール粒子を3 cmの厚さに敷き、水深を30 cmとして、波高および周期を変化させて、底質が移動を開始したときおよび砂れんが発生したときの波高および周期を記録した。実験に用いた砂は粒径をそろえたため0.11 mmから2.5 mmまでのものを7種類に分けて用いた。底質が動き始めた限界としては、水路の長さ方向(約20 m)より多くの底質が動き出す状態を基準とし、また砂れんの発生限界としては、滑りかな移動床表面に、初めて砂れんがほぼ一様に現われたときを基準とした。

3. 実験結果の考察

底質の運動は一般に境界層内の流れによって起るものと考えられる。ここでは海浜境界層内の底質の移動開始を考へる。 τ_0 の底質に作用する力の平衡式は、

$$R_T = \{(\sigma - \rho)gd^3 \frac{\pi}{8} - R_L\} \tan \varphi \quad (1)$$

であらわされる。ここに、 R_T は波運動の加速度を考慮した粒子に働く水平方向の力であり、 R_L は同じく鉛直方向の力であり、 σ および ρ はそれぞれ底質および水の密度、 d は底質粒径、 g は重力の加速度、 φ は水中における底質の静止摩擦角である。(1)式はさらにつきのように書きかえられる。

$$(\sigma/\rho - 1)gd \tan \varphi = \frac{3}{4}C_{ou}U_d^2 + C_{mt}d\left(\frac{\partial u}{\partial t}\right)_d + \left\{ \frac{3}{4}C_{ou}w_d^2 + C_{ml}d\left(\frac{\partial w}{\partial t}\right)_d \right\} \tan \varphi \quad (2)$$

ここに、 C_{ou} および C_{ou} はそれぞれ波の運動中ににおける球の水平および鉛直方向の抵抗係数、 C_{mt} および C_{ml} はそれぞれ水平および鉛直方向の吸盤質量係数であり、 U_d 、 $\left(\frac{\partial u}{\partial t}\right)_d$ および w_d 、 $\left(\frac{\partial w}{\partial t}\right)_d$ はそれぞれ砂が動き出すときの砂粒底部における水平方向の流速と鉛直速度および鉛直方向の流速と加速度である。(2)式の w および w としてLonguet-Higginsによ

る進行波の層流境界層内における流速を用いる。また最大摩擦速度 u_* および底部最大流速 u_0 を導入して(2)式を変形すると、次式が成立する。

$$u_*^{*2}/(\rho/\rho-1)gd \tan\phi = 1/\psi \quad (3)$$

ここで、
 $\psi = \frac{3}{4} C_{\text{ou}} \left(\frac{u_0}{C_{\text{ou}}} \right)^2 \left[\sin(\omega t) - C^{\text{pd}} \sin(\omega t - \phi) \right]^2 + C_{\text{mt}} \left(\frac{u_0}{\sqrt{\nu T}} \right) \left(\frac{u_0}{C_{\text{ou}}} \right) \cos(\omega t) - C^{\text{pd}} \cos(\omega t - \phi) \Big|_{\omega t = \infty}$
 $\beta = \sqrt{\nu T}$, $\omega = 2\pi/T$, ν は水の動粘性係数, T は波の周期であり、また ϕ は ψ が最大になるときの ωt の値である。このとき底質が動かさずものと考える。 C_{ou} は定常流れの場合と同じものと仮定すると、 u_*^{*2}/ν および u_0^{*2}/u_0 の関数となる。また βd も同様に、この二つの無次元量で表わせる。 C_{mt} は従来の研究から一定と考えられ 1.5 とする。結局、波による底質の限界摩擦流力の無次元表示 $u_*^{*2}/(\rho/\rho-1)gd \tan\phi$ は u_*^{*2}/ν および u_0^{*2}/u_0 の関数となる。

図-1 の実線は遮へい効果を考慮し、(3)式の関係を、 u_0^{*2}/u_0 をパラメータとして示したもので、 $u_0^{*2}/u_0 = 0.1$ および 0.2 の場合の実験結果が同時にプロットしてある。全体として実験値は、遮へい係数を $\epsilon = 0.4$ とした理論曲線より小さい値を示しているが、 u_*^{*2}/ν の小さいところでは、流向が非常によく一致している。しかし、 u_*^{*2}/ν の大きいところでは、実験値は理論値から大きくなれてくる。このことは流速や粒径の大さくになって、層流境界層から乱流境界層へ移るためにも考えられる。つづいて、遮蔽係数を $\epsilon = 0.4$ とした場合の理論値を用いて、底質の移動限界水深比を表わす関係を図示したものの一例が図-2 である。この図にはこれまでの研究によって求められた曲線も併記してある。ここで、 H_0 および L_0 は沖波の波高および波長であり、 S は底質の水中比重である。これから、底質の移動限界水深には $H_0^{1.05}$, $L_0^{0.95}$, $S^{1/2}$ のほかに βH_0 の関係があることわかる。

つきに砂れんの発生限界については、先に述べた移動限界の表示法を用いて砂れんの発生限界の実験値をプロットしてみると、図-3 のようになる。実験値はかなり散らばっていいるが、全般的にみてかなり明確に砂れんの発生限界を示しており、 u_0^{*2}/u_0 の効果もあらわしている。つづいて底質の移動限界と砂れんの発生限界とを比較するため、両限界の実験値を同じ図に示したのが図-4 である。 u_*^{*2}/ν の小さいところでは、両者の限界の差はさほどあらわしていないが、 u_*^{*2}/ν が大きくなるにつれて、徐々にその差が小さくなる傾向をうかがえる。なお、この研究は文部省特定研究費による研究の一部であることを付記する。

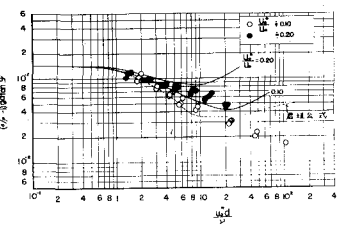


図-1, 限界摩擦流力の無次元表示.

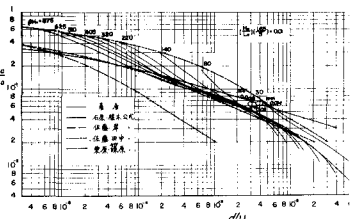


図-2, 底質の移動限界水深 ($H_0^{1.05} = 0.01$ の場合)

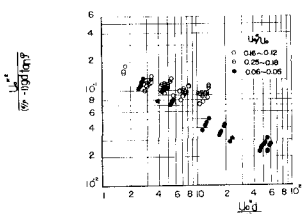


図-3, 砂れんの発生限界における無次元摩擦流力

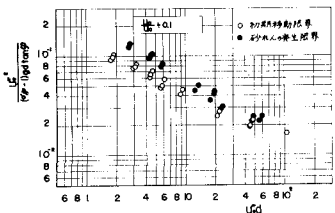


図-4, 底質の移動限界と
砂れんの発生限界